

Pomerači faze reflektivnog tipa

[13M071MMT] - Milimetarski talasi

student Aleksandar Vuković

Univerzitet u Beogradu
Elektrotehnički fakultet

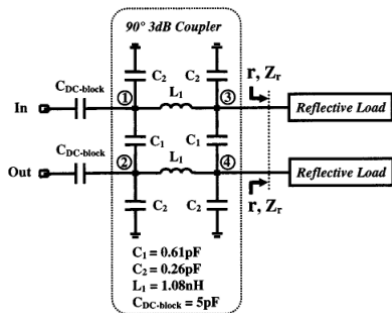
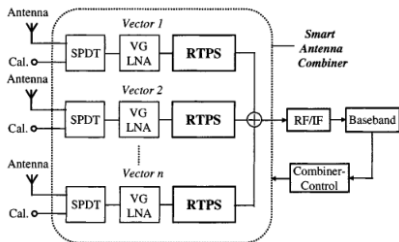
22. 7. 2019.

Uvod

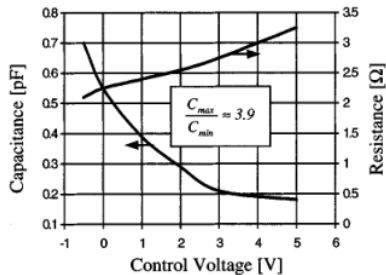
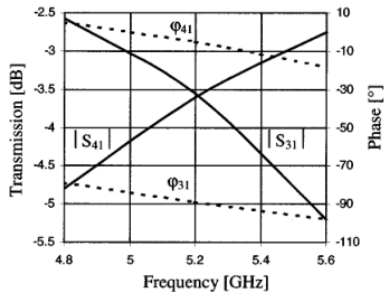
Sadržaj prezentacije

- ▶ Pomerač faze reflektivnog tipa sa 360° opsegom za *smart* antenske sisteme za C-opseg u $0.6\ \mu\text{m}$ GaAs MESFET tehnologiji (2002)
- ▶ 16-elementni fazirani niz kao prijemnik za opseg oko 60 GHz u IBM $0.12\ \mu\text{m}$ SiGe BiCMOS tehnologiji (2011)
- ▶ Pomerač faze reflektivnog tipa sa konstantnim gubicima za oko 24 GHz u $0.18\ \mu\text{m}$ CMOS tehnologiji (2015)

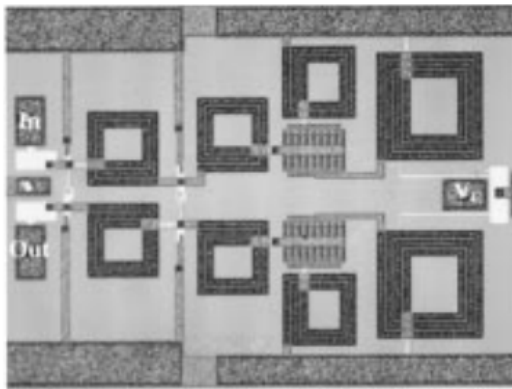
Prijemnik i hibridni sprežnjak



S parametri

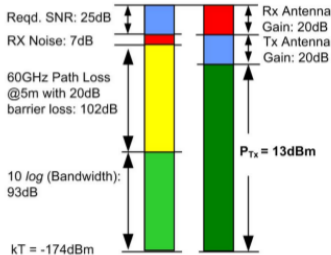
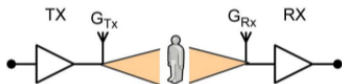


Lejaut RTPS-a $0.85\text{mm}^2 \times 1.1\text{mm}^2$

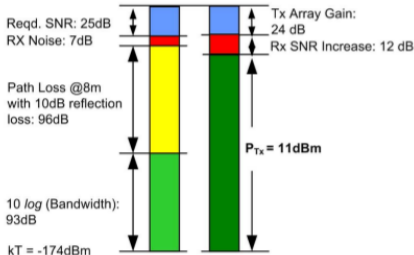
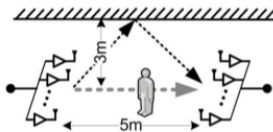


učestanost	5.15 GHz - 5.7 GHz
opseg faznog pomeraja	90° / 360°
gubici	-3.2 dB / -9 dB
varijacija gubitaka	/
S11	/
potrošnja	0
površina na čipu	0.9 mm ²

Poređenje bežičnih linkova antenskog elementa i antenskog niza

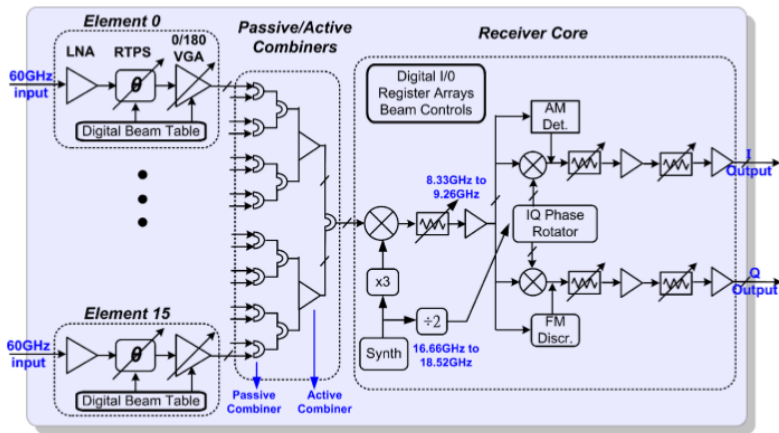


Single-element with high-gain antenna

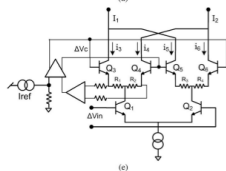
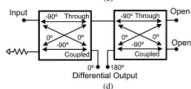
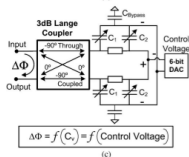
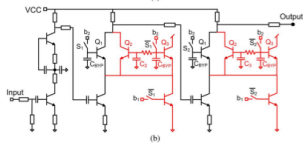
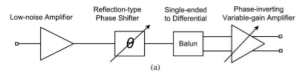


Phased-array Rx and Tx – using reflectors to establish wireless link

Arhitektura prijemnika

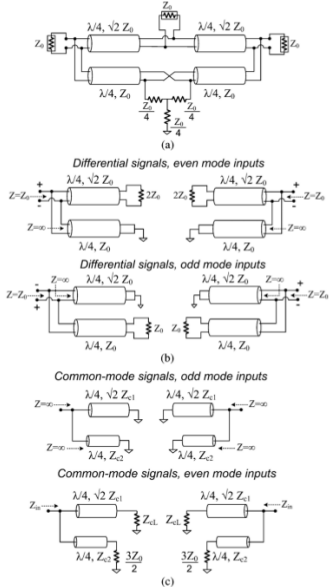


Arhitektura prijemnika



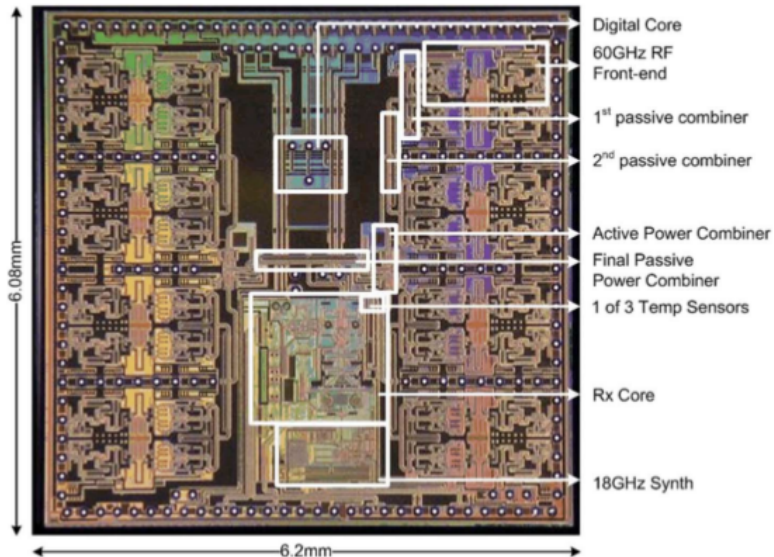
- ▶ a - RF front end
- ▶ b - LNA
- ▶ c - RTPS
- ▶ d - Lange- Lange BALUN
- ▶ e - PIVGA

Gysel kombajner



pasivni *combiner*
analiza ponašanja
i izolacije

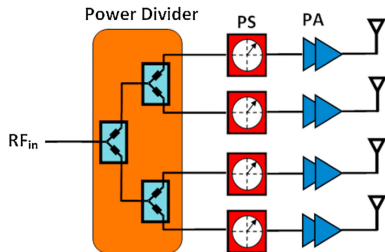
Lejaut prijemnika fazirani niz



Pregled rezultata

učestanost	57.2 - 65.9 GHz
opseg faznog pomeraja	360°

Beamforming predajnik



Specifikacije:

- ▶ varijacija slabljenja u odnosu na fazni pomeraj
- ▶ potrošnja

Hibridni sprežnjak

$$\phi = -\frac{\pi}{2} - 2\tan^{-1}\left(\frac{X}{Z_0}\right)$$

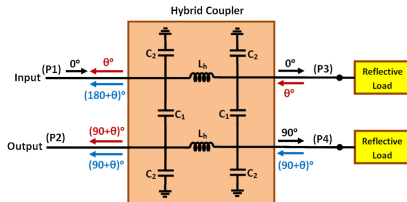
$$\Delta\phi = 2\left[\tan^{-1}\left(\frac{Z_{max}}{Z_0}\right) - \tan^{-1}\left(\frac{Z_{min}}{Z_0}\right)\right]$$

Vrednosti *lumped* elemenata:

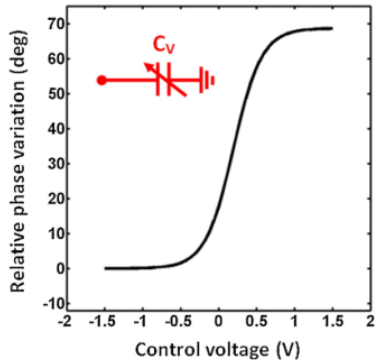
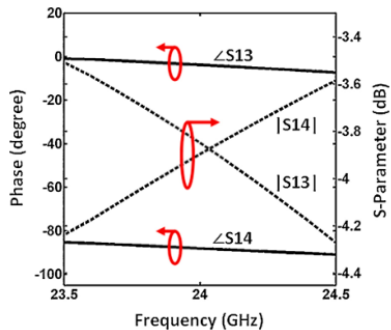
$$L_h = \frac{Z_0}{\sqrt{2}\omega_0}$$

$$C_1 = \frac{1}{\omega_0 Z_0}$$

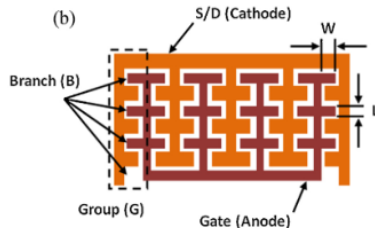
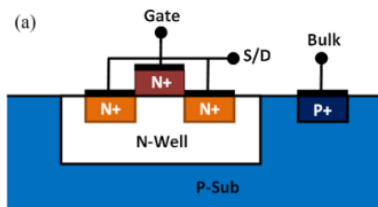
$$C_2 = \frac{1}{\omega_0^2 L_h} - C_1$$



Rezultati simulacija

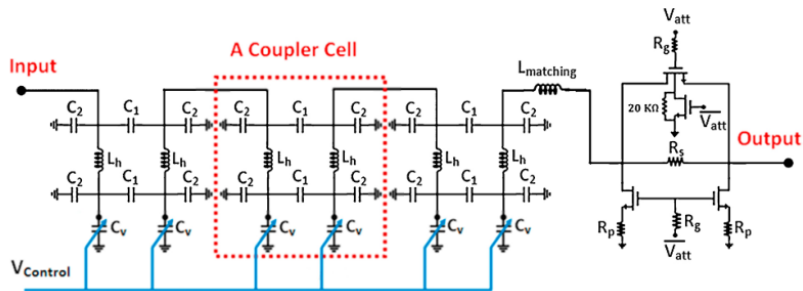


AMOS varaktor

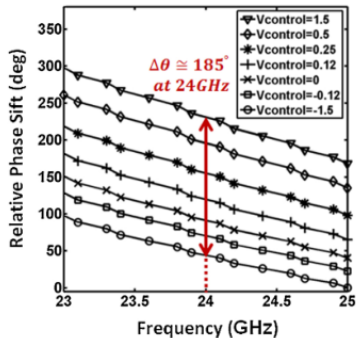
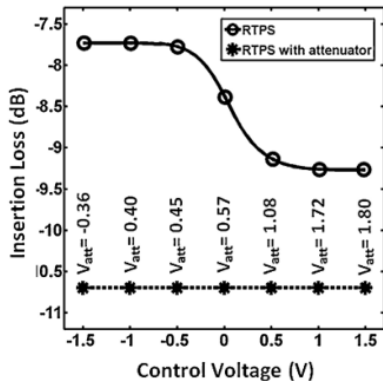


Varaktor ima opseg za podešavanje of 80 fF do 240 fF, sa prosečnom parazitnom otpornošću od 1.5Ω i prosečnom parazitnom kapacitivnošću 8 pH.

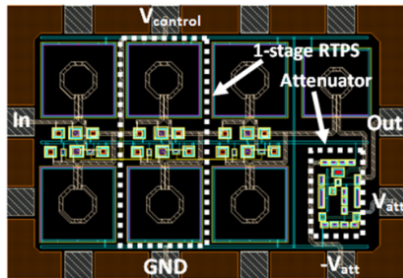
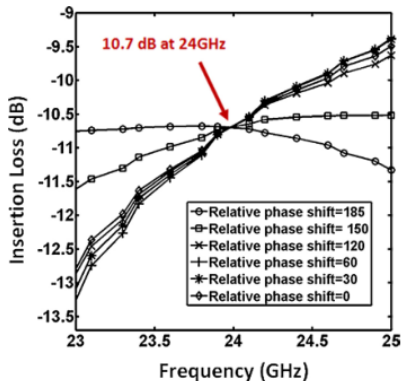
Shema sprežnjaka i atenuatora



Rezultati simulacija



Rezultati simulacija i ležaut



Pregled rezultata

učestanost	24 GHz
opseg faznog pomeraja	185°
maksimalni gubici	10.7 dB
varijacija gubitaka	0
S11	< 15 dB
potrošnja	0
površina na čipu	0.7 mm ²

Dodatno čitanje I



F. Ellinger, R. Vogt, and W. Bachtold.

Ultra compact reflective type phase shifter MMIC at C-band with 360° phase control range for smart antenna combining
IEEE J. Solid-State Circuits, vol. 37, no. 4, pp. 481–486, Apr. 2002.



A. Natarajan, S. Reynolds, M. Tsai, S. Nicolson, J. Zhan, D. Kam, D. Liu, Y. Huang, A. Valdes-Garcia, and B. Floyd.
Fully-Integrated 16-Element Phased-Array Receiver in SiGe BiCMOS for 60-GHz Communications
IEEE Journal of Solid-State Circuits, vol. 46, no. 5, May. 2011.



M. Askari, H. Kaabi, Y. S. Kavian.

A 24 GHz reflective-type phase shifter with constant loss in 0.18 μm CMOS technology
AEU - International Journal of Electronics and Communications 69:1134-1142, May. 2015.